



# Generalized Barker Sequences를 이용한 OFDM 시스템의 Peak-to-Average Power Ratio 감소 방안

변우성, 홍윤표, 송홍엽

(ws.byun@coding.yonsei.ac.kr)

2003년 5월 2일

Coding & Information Theory Lab.  
Department of Electrical and Electronic Engineering, Yonsei Univ.

- 서론
- OFDM 송신단 블록도
- PAPR의 수식
- Generalized Barker Sequences
- GBS의 응용
- 제안된 OFDM 전송방식
- 성능분석
- 결론

## □ OFDM 전송방식의 장점

- 다중경로 페이딩 채널에 강함
- 고속의 데이터 전송 및 대역폭 효율 좋음
- IFFT/FFT 알고리즘을 이용한 효율적 시스템 구축

## □ OFDM 전송방식의 단점

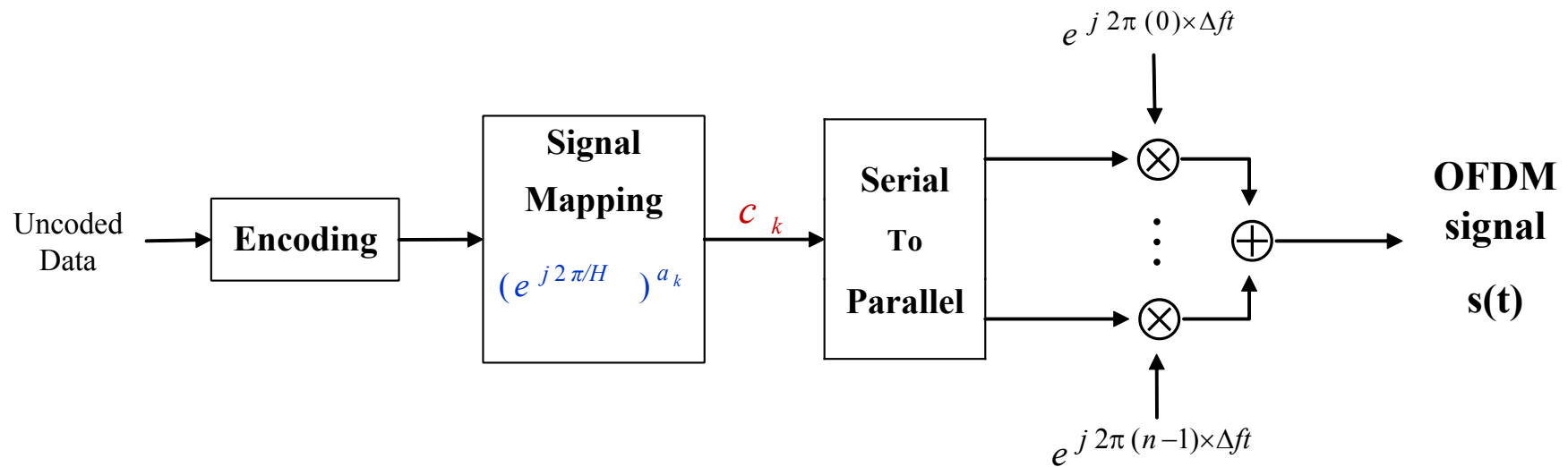
- 높은 Peak-to-Power Ratio(이하 PAPR)로 인한 OFDM 주파수 대역내 간섭 신호 및 인접 주파수 대역 간섭 신호 야기

## □ 높은 PAPR을 줄이기 위한 방법들

- 사전왜곡과 클리핑
- 부분 전송 부호열
- 선택적 매핑
- 블록 부호화

## □ 본 논문의 제안

- 다중위상 부호열인 Generalized Barker sequences(이하 GBS)와 수정된 신호 성상도를 이용하여 대역폭 효율 감소 없는 PAPR 제한 방식



$$c_k = (e^{j2\pi/H})^{a_k}, \quad 0 \leq k \leq n-1$$

$$s(t) = e^{j\omega_0 t} \left( \sum_{k=0}^{n-1} c_k e^{j2\pi(k\Delta f)t} \right), \quad 0 \leq t \leq T$$

- OFDM 신호의 순시 포락선 전력 및 비주기 자기상관 함수를 통한 PAPR의 수식 유도

$$\begin{aligned}
 P_c(t) &= |s(t)|^2 = s(t) \cdot s(t)^* \\
 &= \sum_{\tau=1-n}^{n-1} A_c(\tau) e^{j2\pi(\tau\Delta f)t} \\
 &= A_c(0) + 2 \cdot \text{Re} \left( \sum_{\tau=1}^{n-1} A_c(\tau) e^{j2\pi(\tau\Delta f)t} \right)
 \end{aligned}$$

$$A_c(\tau) = \sum_{k=0}^{(n-1)-\tau} (e^{j2\pi/H})^{a_k - a_{k+\tau}}, \quad 0 \leq \tau \leq n-1$$

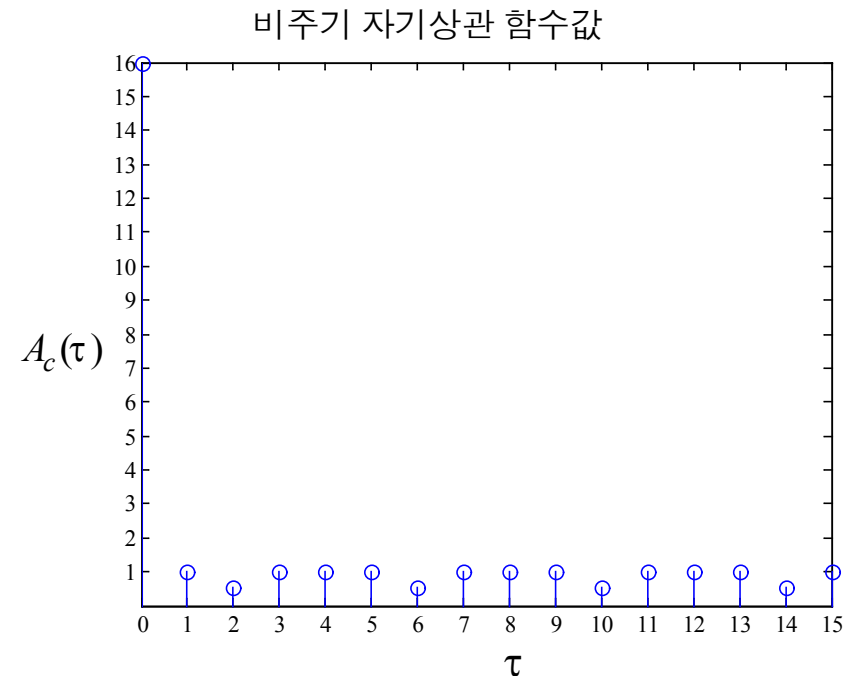
$$\begin{aligned}
 \therefore \text{PAPR} &= \frac{\max_t P_c(t)}{P_{av}} = \frac{\max_t P_c(t)}{\|c\|^2} \\
 &= 1 + \frac{2}{n} \cdot \max_t \left\{ \text{Re} \left( \sum_{\tau=1}^{n-1} A_c(\tau) e^{j2\pi(\tau\Delta f)t} \right) \right\}
 \end{aligned}$$

## □ GBS의 정의

- 비주기 자기상관 함수값의 절대값이 1 이하인 복소 부호열  $\{u_k\}$
- 길이 16, sixty-phase GBS의 예

$$u_k = \exp \left\{ j2\pi \cdot \frac{\alpha_k}{60} \right\}$$

| 길이 | 부호열 $\{u_k\}$ 의 위상, $\alpha_k$                  |
|----|---|
| 16 | 0 0 0 15 15 0<br>45 45 15 30 45 15<br>0 30 0 35 |



- GBS를 위상변환 한 임의의 복소 부호열  $\{v_k\}$ 가 GBS가 되기 위한 조건은 다음과 같다

$$v_k = (e^{j2\pi/H})^{a_k} u_k, \quad a_k \in Z_H$$

$$A_v(\tau) = \sum_{k=0}^{(n-1)-\tau} v_k v_{k+\tau}^* = \sum_{k=0}^{(n-1)-\tau} (e^{j2\pi/H})^{a_k - a_{k+\tau}} u_k u_{k+\tau}^*$$

$$\therefore \text{Each } \tau, \quad a_k - a_{k+\tau} = c \text{ (constant), } k = 0, \dots, n-1$$

- 기존의 OFDM 전송방식의 신호 성상도에 적용하면  $a_k$ 가  $Z_H$ 의 임의의 원소이므로 위 조건을 항상 만족시키지 못함

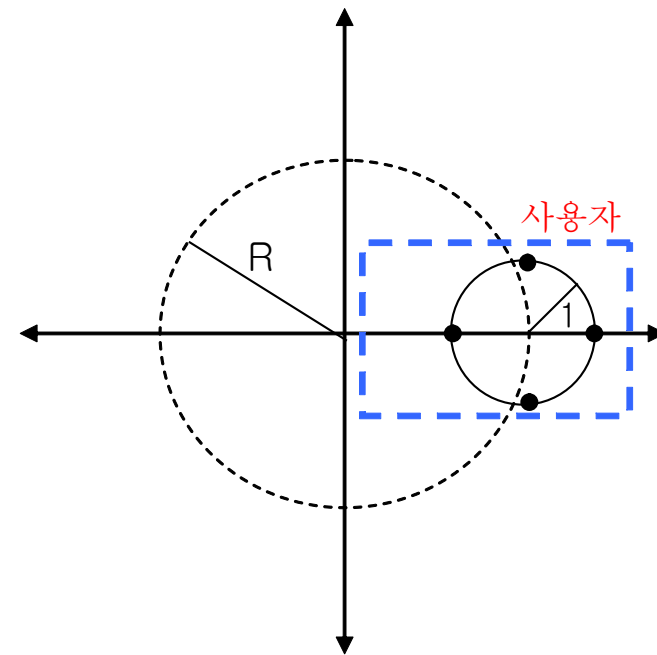
## 수정된 신호 성상도

### 신호 매핑 과정

$$R(e^{j2\pi/H'})^{b_i} + (e^{j2\pi/H})^{a_k}$$

$$a_k \in Z_H, b_i \in Z_{H'}$$

### 신호 성상도의 예



(사용자는 QPSK로 신호를 매핑)

## □ 제안된 OFDM 전송방식의 특성

- 수정된 신호 매핑에 의한 OFDM 전송신호

$$s(t) = \frac{1}{R} \sum_{k=0}^{n-1} \{ R(e^{j2\pi / H'})^{b_i} + (e^{j2\pi / H})^{a_k} \} u_k e^{j2\pi (k\Delta f)t}$$

- 새롭게 생성된 복소 부호열

$$c_k = \{ (e^{j2\pi / H'})^{b_i} + \frac{1}{R} (e^{j2\pi / H})^{a_k} \} u_k, \quad k = 0, \dots, n-1$$

- 새롭게 생성된 복소 부호열의 비주기 자기상관 함수

$$\begin{aligned} A_c(\tau) &= \sum_{k=0}^{(n-1)-\tau} c_k c_{k+\tau}^* \\ &= \sum_{k=0}^{(n-1)-\tau} \left[ 1 + \frac{B}{R} + \frac{D}{R^2} \right] u_k u_{k+\tau}^* \\ B &= \frac{(e^{j2\pi/H})^{a_k}}{(e^{j2\pi/H'})^{b_i}} + \frac{(e^{j2\pi/H'})^{b_k}}{(e^{j2\pi/H})^{a_{k+\tau}}}, \quad D = (e^{j2\pi/H})^{a_k - a_{k+\tau}} \end{aligned}$$

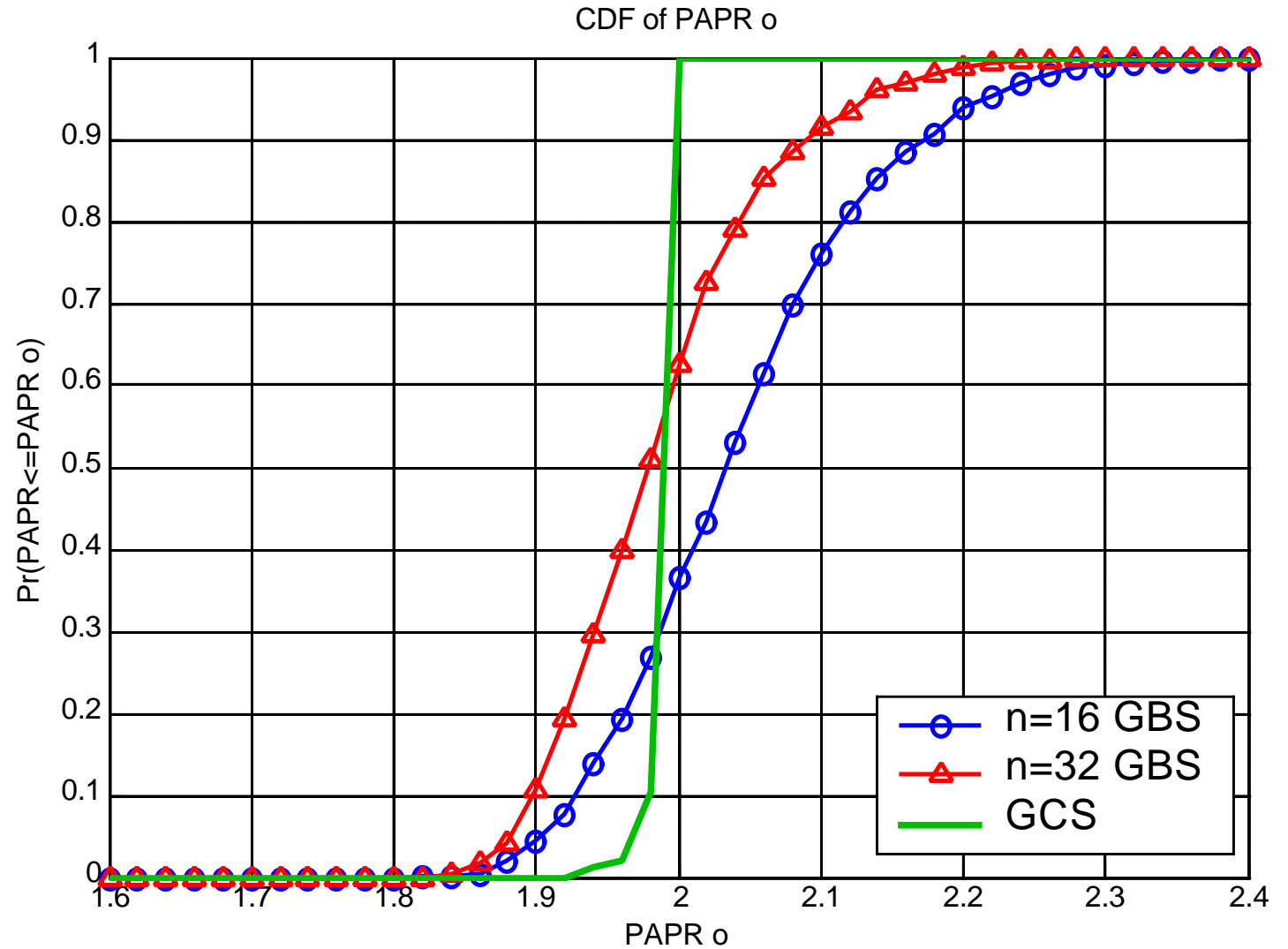
- 위 식에서  $R$  값이 커질수록 비주기 자기상관 함수값이 GBS의 비주기 자기상관 함수값에 근접하므로 복소 부호열  $\{c_k\}$ 는 GBS에 근사하게 됨

## □ 제안된 방식의 PAPR 값의 예

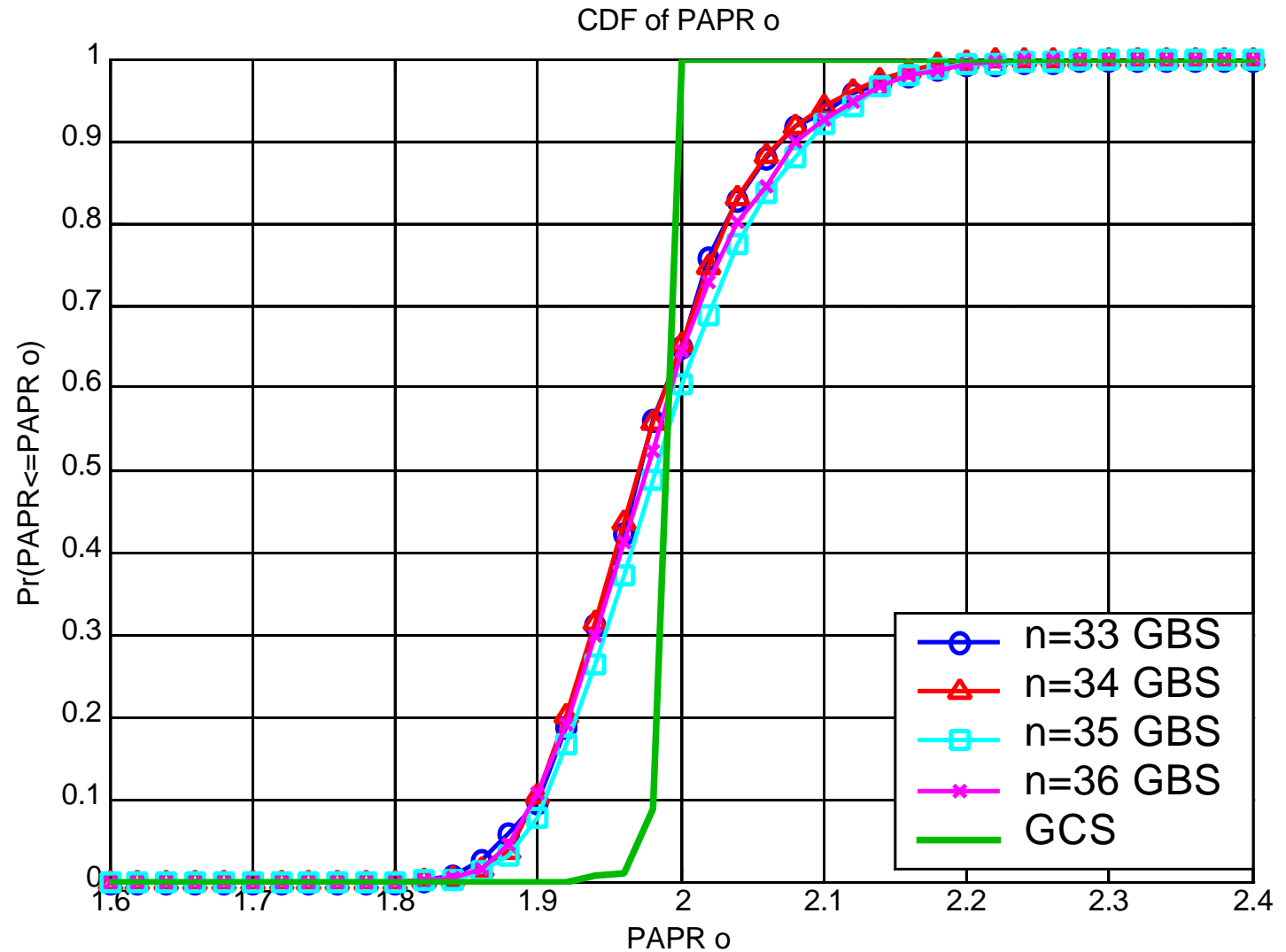
- 임의로 생성된 길이 16의 QPSK 부호열이 입력 데이터( $b_i=0$ )

| $R$ | 비주기 자기상관 함수값 |       |       |       |       |       |       |       | PAPR  |
|-----|--------------|-------|-------|-------|-------|-------|-------|-------|-------|
| GBS | 16.000       | 1.000 | 0.518 | 1.000 | 1.000 | 1.000 | 0.518 | 1.000 | 1.876 |
|     | 1.000        | 1.000 | 0.518 | 1.000 | 1.000 | 1.000 | 0.518 | 1.000 |       |
| 2   | 17.000       | 0.599 | 0.443 | 2.280 | 1.200 | 2.202 | 3.591 | 3.105 | 2.708 |
|     | 1.491        | 0.911 | 1.255 | 1.368 | 0.436 | 1.090 | 1.532 | 1.250 |       |
| 3   | 18.444       | 2.269 | 2.688 | 1.875 | 0.742 | 2.246 | 0.444 | 0.808 | 2.478 |
|     | 1.331        | 0.808 | 0.774 | 1.214 | 0.257 | 0.829 | 0.446 | 0.703 |       |
| 4   | 16.000       | 1.993 | 0.550 | 0.950 | 1.301 | 1.741 | 0.828 | 1.493 | 2.221 |
|     | 1.735        | 1.646 | 1.618 | 1.427 | 0.805 | 0.938 | 0.967 | 0.938 |       |
| 5   | 18.240       | 1.338 | 0.524 | 1.760 | 2.400 | 0.763 | 1.286 | 0.650 | 1.949 |
|     | 1.908        | 1.004 | 0.527 | 1.087 | 0.931 | 1.285 | 0.987 | 1.224 |       |

- 부호열의 길이가 16, 32일 때 PAPR누적 분포 비교 ( $R=5$ )



- 부호열의 길이가 33~36일 때 PAPR 누적 분포 비교 ( $R=5$ )



- GBS와 수정된 신호 성상도를 통해 전력효율을 유지하며 PAPR 값을 줄이는 방법을 제안
- $R$  값이 증가할수록 PAPR 값은 현저히 줄어드나 수신단의 BER 성능 또한 현저한 저하가 발생
- 제안된 OFDM 전송방식은 PAPR과 BER 사이에 Trade-off를 갖게 됨